

Транспорт заряда в спин-поляризованной двумерной электронной системе в кремнии

Д. А. Князев¹⁾, О. Е. Омельяновский, А. С. Дормидонов, В. М. Пудалов

Физический институт им. П.Н.Лебедева РАН, 119991 Москва, Россия

Поступила в редакцию 13 марта 2006 г.

Изучены температурные зависимости проводимости $\sigma(T)$ сильновзаимодействующей двумерной электронной системы в кремнии, как в нулевом, так и в спин-поляризующем магнитном поле 14.2 Т, параллельном плоскости образца. Измерения проведены в широкой области температур (1.4 – 9) К, в баллистическом режиме электрон-электронного взаимодействия $T\tau > 1$. В нулевом магнитном поле полученные данные $\sigma(T)$ количественно описываются теорией квантовых поправок за счет взаимодействия. В полностью спин-поляризованном состоянии измеренные зависимости $\sigma(T)$ нелинейны и даже немонотонны в том же самом диапазоне температур, в котором при отсутствии поля зависимости $\sigma(T)$ монотонны. Тем не менее, низкотемпературные части экспериментальных зависимостей $\sigma(T)$ линейны и качественно согласуются с вычисленными квантовыми поправками.

PACS: 71.10.Ay, 75.47.Jn

Электрон-электронное взаимодействие приводит к ряду существенных эффектов в проводимости и магнитопроводимости в двумерных (2D) системах носителей заряда [1], в частности: а) сильной температурной зависимости проводимости металлического типа ($d\sigma/dT > 0$) в нулевом магнитном поле [1–4]; б) сильному магнитосопротивлению в магнитном поле, параллельном 2D плоскости [5–8].

В настоящее время существует ряд моделей, предполагающих на объяснение этих, а также других эффектов перенормировки параметров квазичастиц сильным электрон-электронным взаимодействием [2] как в рамках ферми-жидкостной теории, так и выходящих за ее рамки. В данной работе, в частности, сравниваются с экспериментом предсказания: а) теории квантовых поправок за счет взаимодействия [9] и б) двухфазной модели [10], рассматривающей двумерную электронную систему как состоящую из электронной жидкости с вкраплениями вигнеровского кристалла. Первая из них описывает качественно, и в ряде случаев даже количественно, температурную зависимость проводимости и магнитопроводимость 2D систем [11–15] как следствие ферми-жидкостных эффектов. Вторая модель качественно объясняет перечисленные выше эффекты в проводимости с существенно не ферми-жидкостной точки зрения.

Чувствительной проверкой упомянутых теорий может служить исследование системы в магнитном поле, большем поля полной спиновой поляризации

B_{pol} , приложенном параллельно 2D плоскости. Этот случай довольно прост с теоретической точки зрения (так как параллельное магнитное поле влияет только на спины электронов и не влияет на их орбитальное движение), а предсказания разных теорий для спин-поляризованного состояния существенно отличаются друг от друга. Поэтому исследование транспорта при полной спиновой поляризации электронов может служить дополнительным ключом к пониманию состояния сильновзаимодействующей электронной 2D системы.

Измерения $\sigma(T)$ в полностью спин-поляризованном состоянии уже проводились ранее в работах [16, 17]. В частности, в работе [16] сообщалось о том, что в магнитном поле 10 Тл проводимость практически не зависит от температуры в диапазоне $T = (0.3 – 3)$ К; этот результат, казалось бы, подтверждает предсказания двухфазной модели [10]. Однако использованное поле 10 Тл было, по-видимому, недостаточно сильным для полной спиновой поляризации электронной системы в исследованном диапазоне концентраций $(1 – 2.5) \cdot 10^{11} \text{ см}^{-2}$. В работе [17] в диапазоне температур $(0.1 – 1.2)$ К измерялось отношение производных $\sigma_D^{-1} d\sigma/dT$ в нулевом магнитном поле и в поле полной спиновой поляризации. Было обнаружено, что это отношение согласуется с теорией температурно-зависимого экранирования [18–21] и не согласуется с квантовыми поправками [9] для баллистического режима взаимодействия. Следует, однако, отметить, что приложение параллельного поля увеличивает эффективный беспорядок в 2D системе (уменьшает τ). Поэтому, хотя в нулевом магнитном

¹⁾e-mail: knyazev@mail1.lebedev.ru

поле температурный диапазон измерений в обеих работах [16, 17] соответствовал баллистическому режиму взаимодействия $T\tau > 1$, в сильном магнитном поле этот же диапазон температур соответствовал переходной области $T\tau \sim 1$ между диффузионным и баллистическим режимами взаимодействия. Таким образом, сравнение наклонов кривых $\sigma(T)$ проводилось для двух различных режимов электрон-электронного взаимодействия.

В данной работе нами проведены измерения температурной зависимости проводимости при более высоких температурах (1.4–9) К и в более сильном магнитном поле 14.2 Тл. Благодаря такому выбору условий, измерения заведомо соответствовали баллистическому режиму взаимодействия $T\tau > 1$ как в нулевом магнитном поле, так и в поле полной спиновой поляризации электронов. Результаты наших измерений в сильном магнитном поле $\sigma(T)$ не согласуются с выводами неферми-жидкостной модели [10], которая предсказывает полное исчезновение температурной зависимости проводимости в спин-поляризованном состоянии. Полученные данные в нулевом магнитном поле, как и в работе [11], количественно описываются теорией квантовых поправок [9] без подгоночных параметров. В спин-поляризованном состоянии температурная зависимость проводимости согласуется с квантовыми поправками только качественно, наклоны экспериментальных кривых $\sigma(T)$ отличаются от теоретически предсказанных в 1.2 – 2.8 раза.

Исследования были проведены на (100)-Si МДП структуре с инверсионным слоем электронов, с прямоугольным каналом 5×0.8 мм², с максимальной подвижностью носителей $\mu \approx 2$ м²/Вс при $T = 1.4$ К. Проводимость измерялась при помощи стандартной четырех-контактной методики на переменном токе частотой ≈ 5 Гц. Пропускаемый через образец ток был достаточно малым ($I \approx 10$ нА), чтобы предотвратить перегрев электронов. Плоскость образца была ориентирована параллельно магнитному полю с точностью $\approx 1'$; контроль ориентации проводился по давлению пика слабой локализации в $\rho_{xx}(B_\perp)$ при повороте плоскости образца относительно направления магнитного поля.

1. Измерения $\sigma(T)$ в нулевом магнитном поле. До исследований $\sigma(T, B)$ в сильном магнитном поле мы провели измерения проводимости в нулевом магнитном поле и сопоставили результаты с теорией. Зависимости $\rho(T)$ в нулевом магнитном поле для различных концентраций электронов приведены на рис.1. В отсутствие поля сопротивление образца сильно зависит от температуры (см. рис.1), демонстрируя “металлическую” проводимость, типичную

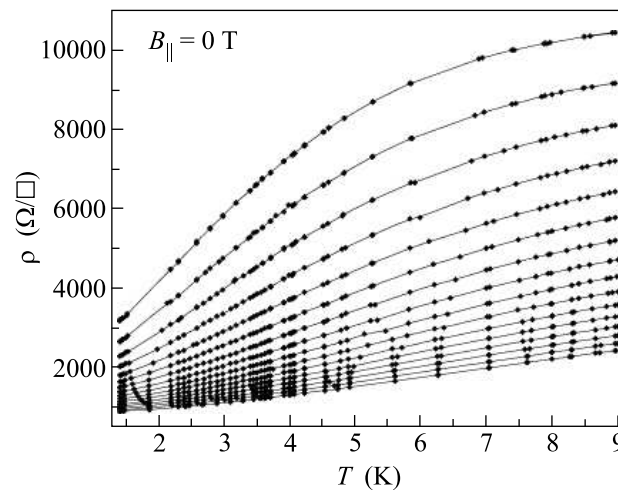


Рис.1. Температурные зависимости $\rho(T)$ для концентраций (сверху вниз) 1.92, 2.04, 2.16, 2.28, 2.39, 2.51, 2.63, 2.75, 2.86, 2.98, 3.10, 3.22, 3.34, 3.45, 3.57, 3.69 (в единицах 10^{11} см⁻²). Магнитное поле $B_{||} = 0$ Тл

для образцов с высокой подвижностью при низкой концентрации носителей (то есть при сильном межэлектронном взаимодействии).

На рисунке отчетливо видны линейные участки зависимостей $\rho(T)$ в области низких температур. Малые значения удельного сопротивления показывают, что исследуемая область концентраций лежит в металлической области ($\rho_D \ll h/e^2$), и условия применимости теории квантовых поправок [9] выполнены. На рис.2 значения проводимости для низкотемпе-

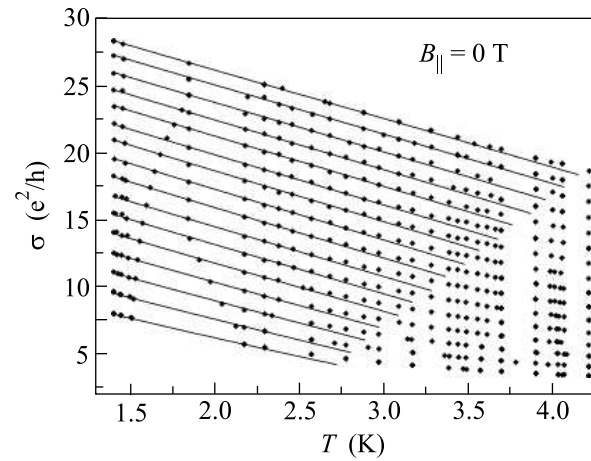


Рис.2. Сравнение экспериментальных зависимостей $\sigma(T)$ с вычисленными квантовыми поправками из-за взаимодействия (1) для концентраций (снизу вверх) 1.92, 2.04, 2.16, 2.28, 2.39, 2.51, 2.63, 2.75, 2.86, 2.98, 3.10, 3.22, 3.34, 3.45, 3.57, 3.69 (в единицах 10^{11} см⁻²). Точки – эксперимент, сплошные линии – теория. Магнитное поле $B_{||} = 0$ Тл

ратурной области (пересчитанные из данных рис.1) сравниваются с квантовыми поправками [9]:

$$\sigma(T) = \sigma_D + \delta\sigma_C + 15 \cdot \delta\sigma_T, \quad (1)$$

где σ_D – друлевская проводимость, $\delta\sigma_C$ и $\delta\sigma_T$ – синглетный и триплетный члены квантовой поправки, соответственно; коэффициент 15 связан с двойным вырождением по спину и долинам [22]. Поправка, связанная со слабой локализацией, в данном диапазоне температур мала [23] и не учитывалась при расчете.

Входящая в триплетный член $\delta\sigma_T$ ферми-жидкостная константа F_0^σ была измерена независимо [24]. Друлевская проводимость σ_D определялась экстраполяцией экспериментальных данных $\sigma(T)$ к $T = 0$ К согласно теоретической зависимости (1) для баллистического режима; при определении τ из σ_D использовалась зонная масса $m^* = 0.205 \cdot m_e$ (m_e – масса электрона) [24].

Из рис.2 видно, что, так же как и в предыдущих работах [11–13], вычисленные квантовые поправки количественно описывают низкотемпературные участки экспериментальных кривых $\sigma(T)$ без подгоночных параметров во всем исследованном диапазоне концентраций электронов.

2. Измерения $\sigma(T)$ в сильном магнитном поле. Для сопоставления транспортных свойств системы в спин-поляризованном состоянии и в нулевом магнитном поле мы измерили зависимости $\rho(T)$ в магнитном поле $B_{||} = 14.2$ Тл для тех же значений концентраций электронов, что и в нулевом магнитном поле. Экспериментальные зависимости $\rho(T)$ для различных концентраций электронов в магнитном поле $B_{||} = 14.2$ Тл приведены на рис.3.

Видно, что, во-первых, температурные зависимости $\rho(T, B_{||} = 14.2$ Тл) сильно ослаблены по сравнению со случаем нулевого магнитного поля (рис.1). Видно также, что магнитное поле увеличило эффективный беспорядок в системе, что проявилось примерно в четыре раза больших значениях удельного сопротивления по сравнению с данными рис.1. Это четырехкратное увеличение сопротивления согласуется с результатами теории температурно-зависимого экранирования [20, 21], в которой оно связывается с увеличением k_F в $\sqrt{2}$ раз, а также с уменьшением плотности состояний электронов и увеличением радиуса экранирования в 2 раза.

Во-вторых, увеличение температурного диапазона измерений позволило выявить немонотонность зависимостей $\rho(T)$ в сильном параллельном магнитном поле (см. рис.3). Несмотря на общую нелинейность зависимостей $\rho(T)$, для всех концентраций на рис.3 при низких температурах видны линейные участки,

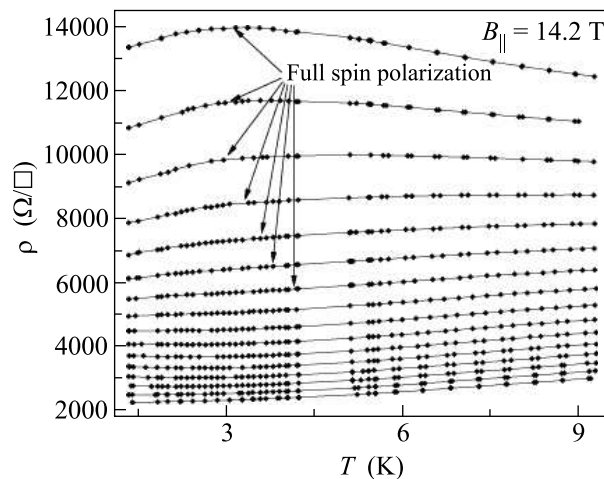


Рис.3. Температурные зависимости $\rho(T)$ для концентраций (сверху вниз) 1.92, 2.04, 2.16, 2.28, 2.39, 2.51, 2.63, 2.75, 2.86, 2.98, 3.10, 3.22, 3.34, 3.45, 3.57, 3.69 (в единицах 10^{11} см^{-2}). Магнитное поле $B_{||} = 14.2$ Тл. Стрелками отмечены кривые с полной спиновой поляризацией 2D системы (концентрации 1.92, 2.04, 2.16, 2.28, 2.39, 2.51, 2.63)

которые могут быть сопоставлены с теорией квантовых поправок [9]. Отмеченные стрелками на рис.3 кривые $\rho(T)$ отвечают условию полной спиновой поляризации $g\mu_B B_{||} > 2E_F$; низкотемпературные участки этих кривых, пересчитанные в проводимость $\sigma(T)$, приведены на рис.4. Для сравнения на рисунке

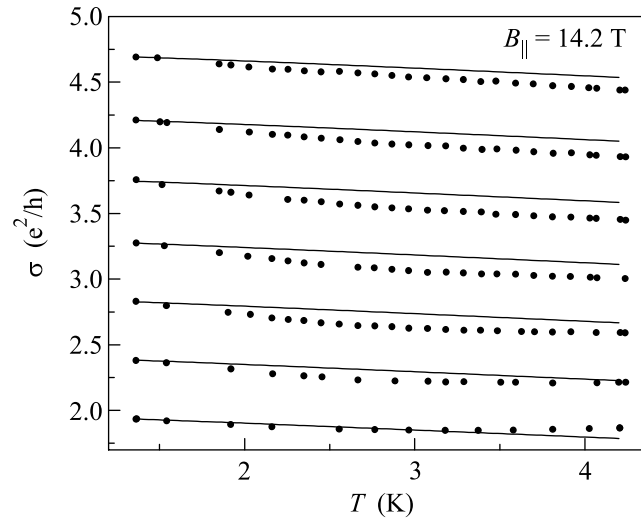


Рис.4. Сравнение экспериментальных зависимостей $\sigma(T)$ с вычисленными квантовыми поправками из-за взаимодействия (2) для концентраций (снизу вверх) 1.92, 2.04, 2.16, 2.28, 2.39, 2.51, 2.63 (в единицах 10^{11} см^{-2}). Точки – эксперимент, сплошные линии – теория. Магнитное поле $B_{||} = 14.2$ Тл

также приведены квантовые поправки, вычисленные для спин-поляризованного состояния [25]:

$$\sigma(T) = \sigma_D + \delta\sigma_C + 3 \cdot \delta\sigma_T. \quad (2)$$

Уменьшение числа триплетных членов с $(2n_v)^2 - 1 = 15$ до $n_v^2 - 1 = 3$ связано со снятием спинового вырождения при неизменном двукратном долинном вырождении $n_v = 2$ [22]. При расчете квантовых поправок для спин-поляризованного состояния мы использовали те же значения F_0^σ и m^* , что и в случае нулевого магнитного поля [26, 27]. В связи с увеличившимся беспорядком в системе для спин-поляризованного состояния нами были заново определены значения τ из σ_D , путем экстраполяции кривых $\sigma(T, B_{||} = 14.2 \text{ Тл})$ к $T = 0 \text{ К}$. Отметим также, что, несмотря на уменьшившиеся значения τ , температурный диапазон измерений по-прежнему соответствовал баллистическому режиму взаимодействия.

Из рис.4 видно, что экспериментальные данные находятся в качественном согласии с квантовыми поправками. Несмотря на то, что температурные зависимости $\sigma(T)$ в спин-поляризованном состоянии заметно (в 3–5 раз) ослаблены по сравнению со случаем нулевого магнитного поля (рис.2), их наклоны $d\sigma/dT$ отличны от нуля, что явно противоречит предсказаниям неферми-жидкостной двухфазной модели [10]. Для самых низких концентраций (нижние кривые на рис.4) расхождение измеренных наклонов с теоретическими составляет примерно 20–30 %. Такое расхождение, возможно, связано с тем, что квантовые поправки вычислены в работе [9] для области $\sigma_D h/e^2 \gg 1$, в то время как для наименьших кривых на рисунке $\sigma_D h/e^2 \sim 2 - 3$. Для более высоких концентраций (верхние кривые на рис.4) наклоны экспериментальных кривых отличаются от рассчитанных примерно в 2–2.8 раза. Увеличение расхождения с ростом концентрации электронов, возможно, связано с уменьшением степени спиновой поляризации при конечных температурах: $g\mu_B B_{||} - 2E_F \sim T$. В то же время, теория температурно-зависимого экранирования [19, 20] предсказывает $(d\sigma(T, B_{\text{pol}})/dT)/(d\sigma(T, 0)/dT) = 1/2(\sigma_D(B_{\text{pol}})/\sigma_D(0)) = 1/8$; однако согласно экспериментальным данным (рис.2, 4) это же отношение слабо варьируется с изменением концентрации и равно ≈ 0.04 , то есть примерно в 3 раза меньше.

Таким образом, в данной работе проведены измерения температурной зависимости проводимости 2D электронной системы в Si как в отсутствие магнитного поля, так и в спин-поляризованном состоянии. Обнаружено, что проводимость в спин-поляризованном состоянии немонотонно зависит от

температуры, что не объясняется ни одной из существующих теорий. В области низких температур (тем не менее, в баллистическом режиме взаимодействия $T\tau > 1$) проводимость приблизительно линейно зависит от температуры как в нулевом магнитном поле, так и в поле полной спиновой поляризации, что позволило нам сопоставить экспериментальные данные с теоретическими предсказаниями. Температурная зависимость проводимости в спин-поляризованном состоянии сильно ослаблена по сравнению со случаем нулевого магнитного поля, однако отнюдь не исчезающе мала; этот результат находится в противоречии с двухфазной моделью [10]. В то время как при $B_{||} = 0 \text{ Тл}$ измеренные зависимости $\sigma(T)$ количественно описываются теорией квантовых поправок [9], в спин-поляризующем магнитном поле согласие с теорией лишь качественное; в обоих случаях сравнение с теорией проводилось без использования подгоночных параметров. Измеренное отношение наклонов температурных зависимостей в спин-поляризующем и нулевом магнитных полях $(d\sigma(T, B_{\text{pol}})/dT)/(d\sigma(T, 0)/dT)$ в $\approx 1.2 - 3$ раза больше значений, предсказываемых теорией квантовых поправок, и в ≈ 3 раза меньше, чем значение, даваемое теорией температурно-зависимого экранирования.

Работа поддержана грантами Российского фонда фундаментальных исследований, Президиума и ОФН РАН, Президентской программой поддержки ведущих научных школ, а также INTAS. Д. А. К. признательен УНК ФИ РАН и Фонду содействия отечественной науке за финансовую поддержку.

1. E. Abrahams, S. V. Kravchenko, and M. P. Sarachik, Rev. Mod. Phys. **73**, 251 (2001); V. M. Pudalov, in: *The Electron Liquid Paradigm in Condensed Matter Physics*, Eds. G. F. Giuliani and G. Vignale, IOS press, Amsterdam, 2004.
2. V. M. Pudalov, M. E. Gershenson, and H. Kojima, Chapter 19 in: *Fundamental problems of mesoscopic physics*, NATO science series, Eds. I. Lerner, B. Altshuler, and Y. Gefen, (Kluwer Academic Publ., Dordrecht, 2004, p. 309).
3. S. V. Kravchenko, G. V. Kravchenko, J. E. Furneaux et al., Phys. Rev. B **50**, 8039 (1994).
4. S. V. Kravchenko, W. E. Mason, G. E. Bowker, J. E. Furneaux et al., Phys. Rev. B **51**, 7038 (1995).
5. D. Simonian, S. V. Kravchenko, M. P. Sarachik, and V. M. Pudalov, Phys. Rev. Lett. **79**, 2304 (1997).
6. V. M. Pudalov, G. Brunthaler, A. Prinz, and G. Bauer, Письма в ЖЭТФ **65**, 932 (1997).
7. V. M. Pudalov, G. Brunthaler, A. Prinz, and G. Bauer, Physica B **249–251**, 697 (1998).

8. T. Okamoto, K. Hosoya, S. Kawaji, and A. Yagi, Phys. Rev. Lett. **82**, 3875 (1999).
9. G. Zala, B. N. Narozhny, and I. L. Aleiner, Phys. Rev. B **64**, 214204 (2001).
10. B. Spivak, Phys. Rev. B **64**, 085317 (2001).
11. V. M. Pudalov, M. E. Gershenson, H. Kojima et al., Phys. Rev. Lett. **91**, 126403 (2003).
12. Y. Y. Proskuryakov, A. K. Savchenko, S. S. Safonov et al., Phys. Rev. B **68**, 076406 (2002).
13. A. A. Shashkin, S. V. Kravchenko, V. T. Dolgopolov, and T. M. Klapwijk, Phys. Rev. B **66**, 073303 (2002).
14. S. A. Vitkalov, K. James, B. N. Narozhny et al., Phys. Rev. B **67**, 113310 (2003).
15. E. B. Olshanetsky, V. Renard, Z. D. Kvon et al., Phys. Rev. Lett. **89**, 126403 (2002).
16. Y. Tsui, S. A. Vitkalov, M. P. Sarachik, and T. M. Klapwijk, Phys. Rev. B **71**, 113308 (2005).
17. A. A. Shashkin, E. V. Deviatov, V. T. Dolgopolov et al., cond-mat/0504301.
18. F. Stern, Phys. Rev. Lett. **44**, 1469 (1980).
19. A. Gold and V. T. Dolgopolov, Phys. Rev. B **33**, 1076 (1986).
20. V. T. Dolgopolov and A. Gold, Письма в ЖЭТФ **71**, 42 (2000).
21. S. Das Sarma and E. H. Hwang, Phys. Rev. B **72**, 205303 (2005).
22. Во всем исследованном диапазоне температур междолинное расщепление $\Delta_s \ll T$ и поэтому не влияет на число триплетных членов в формулах (1) и (2).
23. G. Brunthaler, A. Prinz, G. Bauer, and V. M. Pudalov, Phys. Rev. Lett. **87**, 096802 (2001).
24. V. M. Pudalov, M. E. Gershenson, H. Kojima et al., Phys. Rev. Lett. **88**, 196404 (2002).
25. И. Л. Алейнер, частное сообщение.
26. В работах [11, 27] было показано, что эффективная масса в Si-МДП структурах не зависит от параллельного магнитного поля. Зависимость $F_0^\sigma(B_{||})$ проявляется лишь в слабых магнитных полях, а в поле полной спиновой поляризации F_0^σ экстраполируется к тому же значению, что и в нулевом магнитном поле [2].
27. A. A. Shashkin, M. Rahimi, S. Anissimova et al., Phys. Rev. Lett. **91**, 046403 (2003).